

О МЕХАНИЗМЕ И СТРУКТУРЕ ТЕПЛОВОЙ СТРАТИФИКАЦИИ СРЕДЫ В ЗАКРУЧЕННЫХ ВНУТРЕННИХ ТЕЧЕНИЯХ ВЯЗКОЙ ЖИДКОСТИ

АННОТАЦИЯ

В развитие результатов, представленных в [1], на примере ламинарных конически подобных закрученных внутренних течений несжимаемой жидкости получены автомодельные решения тепловой задачи, моделирующей энергоразделение среды в конической струе. Для случаев с закруткой потока характерно образование кольцевых замкнутых поверхностей тока тепла (алгебраического избыточного теплосодержания среды). Их контуры в меридиональном сечении строились на основе данных об изменении вектора суммарного теплового потока, обусловленного переносом тепла конвекцией и теплопроводностью. В зависимости от режима течения в струе (прямоточного или противоточного) возможно наличие нескольких зон с замкнутыми поверхностями тока тепла, последовательно сопрягающимися между собой на конических фронтах, на которых нормальная составляющая вектора суммарного теплового потока равна нулю. В окрестности вершины конуса ($r=0$), являющейся особой точкой, в упомянутых зонах реализуются источники и стоки избыточного тепла бесконечной мощности, которые переходят друг в друга на промежуточном фронте, где равна нулю радиальная составляющая.

1. ВВЕДЕНИЕ

Обнаруженное экспериментально тепловое разделение газа в вихревой трубе Ранка не получило до сих пор должного научного объяснения. В работах [2], [3] на основе уравнений Навье-Стокса выполнено численное моделирование вихревого эффекта для ламинарного и турбулентного режимов течения газа. Результаты указанных исследований предсказывают эффект теплового разделения газа в вихревой трубе. В работе [4] экспериментально показано, что тепловое разделение в вихревой трубе имеет место в случае жидкости.

В настоящем докладе представлены результаты численного моделирования теплового разделения среды на примере конически подобных закрученных струйных течений вязкой жидкости. Смоделированное в расчетах тепловое разделение среды (жидкости) качественно совпадает с таковым при течении в вихревой трубе [4].

2. ЧИСЛЕННОЕ МОДЕЛИРОВАНИЕ ТЕПЛОВОЙ СТРАТИФИКАЦИИ ЖИДКОСТИ

В рассматриваемых закрученных ($\partial/\partial\varphi=0$) струйных течениях вязкой жидкости, описываемых уравнениями Навье-Стокса в сферической системе координат r, θ, φ , приведенные составляющие скорости (радиальная u , нормальная v , окружная w) и

давление p изменяются в зависимости от r и θ следующим образом

$$\begin{aligned} u(r, \theta) &= \frac{U(\theta)}{r}, & v(r, \theta) &= \frac{V(\theta)}{r}, \\ w(r, \theta) &= \frac{W(\theta)}{r}, & p(r, \theta) &= \frac{P(\theta)}{r^2}. \end{aligned} \quad (1)$$

При условиях (1) система уравнений Навье-Стокса допускает редукцию ее к системе обыкновенных дифференциальных уравнений для определения функций $U(\theta), V(\theta), W(\theta), P(\theta)$. Эта система содержит постоянную интегрирования D , входящую в выражение для давления

$$P = -\frac{V^2}{2} + \int_0^\theta W^2 \operatorname{ctg}\theta d\theta + \frac{U}{\operatorname{Re}} - \frac{D}{2},$$

и параметр – число Re , определенное по скорости u_{01} на оси симметрии струи при фиксированной координате r_1 и постоянной кинематической вязкости. При условиях (1) число Re не меняется по длине, оно >0 или <0 в зависимости от знака скорости на оси.

Система обыкновенных дифференциальных уравнений решается численно в области $0 < \theta \leq \theta_w$, как система с известными (из условия нормировки и симметрии течения) начальными данными

$$U(0)=1, U'(0)=0, V(0)=0, W(0)=0, W'(0)=C,$$

где θ_w – полуугол раствора конической струи. Искомая постоянная D находится из удовлетворения условию $U(\theta_w)=0$, величина C является параметром и характеризует степень закрутки потока в струе. Величины $V(\theta_w), W(\theta_w), P(\theta_w)$ являются искомыми (собственными) значениями задачи.

В течениях, соответствующих рассматриваемым решениям, должен иметь место массообмен на коническом фронте $\theta=\theta_w$. Последнее следует из выражения для расхода жидкости через поперечное сечение струи с учетом условий (1)

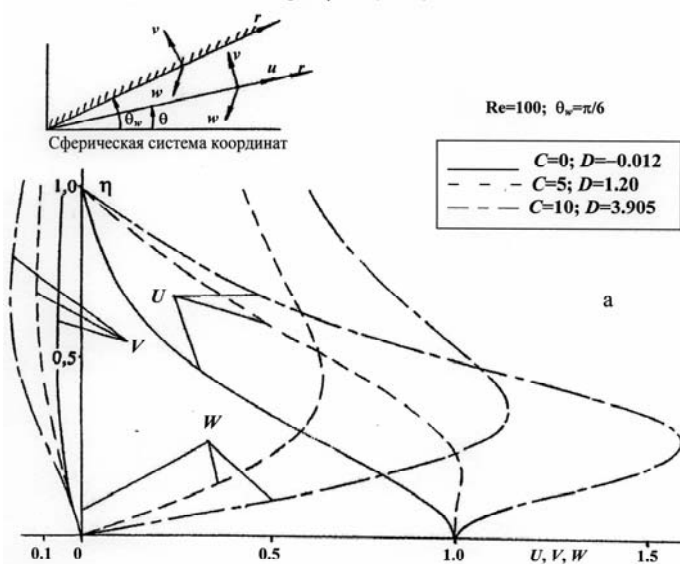
$$M = \int_0^{\theta_w} 2\pi r \sin\theta \rho u r d\theta \sim \operatorname{const} \cdot r.$$

На рис. 1, а для случая течения жидкости в конической струе с полууголом раствора $\theta_w=\pi/6$ при $\operatorname{Re}=100$ (значение $u_{01}>0$) и параметрах закрутки $C=0; 5; 10$ представлены рассчитанные поперечные профили $U(\eta), V(\eta), W(\eta)$, где $\eta=\theta/\theta_w$. В данном случае автомодельные течения реализуются с массоподводом на границе струи ($V(\theta_w)<0$). Наиболее сильно влияние закрутки потока сказывается на поведении радиальной составляющей скорости U по

η . Так, при $C=10$ профиль $U(\eta)$ в окрестности оси струи становится существенно немонотонным.

На рис. 1, б приведены результаты расчета течения жидкости в конической струе при $Re=-100$ (значение $u_{01}<0$) и $\theta_w=\pi/6$. Топология течения в данном случае совершенно иная по сравнению с течением в предыдущем случае. При отсутствии закрутки ($C=0$) автомодельное течение реализуется с отводом массы от потока к границе струи ($V(\theta_w)<0$), причем профиль радиальной составляющей скорости $U(\eta)$ является наполненным. При наличии закрутки ($C=2.5$) существует луч, на котором $V(\theta)=0$, т.е. он является поверхностью тока. Существует также луч, где $U(\theta)=0$. При этом автомодельное течение реализуется с подводом (вдувом) жидкости в поток на границе струи ($V(\theta_w)>0$). Поскольку в случае $C=2.5$ расход жидкости через поперечное сечение струи может быть только положительным, реализуемое течение следует рассматривать как течение в расширяющейся струе.

Решение динамической задачи о течении жидкости в закрученной струе при $u_1^+ > 0$ ($Re > 0$)



Решение динамической задачи о течении жидкости в закрученной струе при $u_1^+ < 0$ ($Re < 0$)

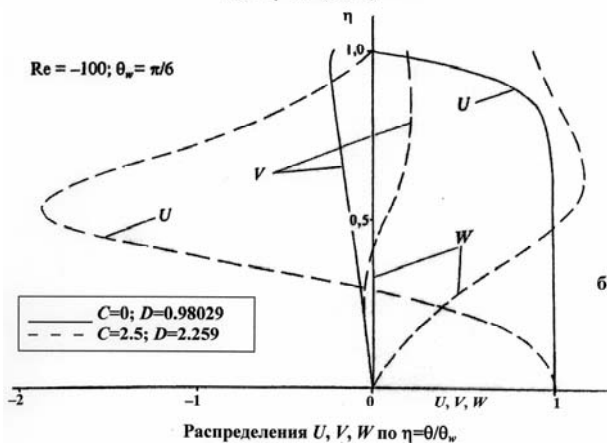


Рис. 1

Используя решение динамической задачи, получено автомодельное решение тепловой задачи, моделирующей температурную стратификацию среды в конической струе. Уравнение энергии для определения поля приведенной температуры $\vartheta = (t - t_\infty)/(t_{01} - t_\infty)$ в расчетной области используется с учетом вязкой диссипации тепла

$$\text{div} \vec{q}_\Sigma = (Ec/Re)\Phi.$$

Здесь $\vec{q}_\Sigma = \vec{q}_c + \vec{q}_\lambda$, где \vec{q}_c и \vec{q}_λ — соответственно приведенные векторы тепловых потоков, обусловленных переносом тепла конвекцией и теплопроводностью;

$$q_{cr} = u\vartheta, \quad q_{\lambda r} = -(1/RePr) \cdot (\partial\vartheta/\partial r),$$

$$q_{c\theta} = v\vartheta, \quad q_{\lambda\theta} = -(1/RePr) \cdot (\partial\vartheta/r\partial\theta).$$

Здесь t_∞ — задаваемая температура при $r=\infty$, t_0 — текущая температура на оси, t_{01} — температура на оси струи при фиксированном значении $r=r_1$. Параметрами уравнения являются число Re , число Pr и число $Ec = u_{01}^2 / (c(t_{01} - t_\infty))$, c — удельная теплоемкость.

При представлении искомой функции в виде

$$\vartheta(r, \theta) = \frac{t - t_\infty}{t_0 - t_\infty} \cdot \frac{t_0 - t_\infty}{t_{01} - t_\infty} = \frac{T(\theta)}{r^2}, \quad (2)$$

уравнение энергии при условиях (1), (2) сводится к обыкновенному дифференциальному уравнению для определения функции $T(\theta)$. При этом текущее число Ec , как и текущее число Re , неизменно по длине. Обыкновенное дифференциальное уравнение для определения функции $T(\theta)$ решается численно с начальными данными

$$T(0)=1, \quad T'(0)=0.$$

Поток избыточного теплосодержания через поперечное сечение струи запишется в виде

$$Q = \int_0^{\theta_w} 2\pi r \sin \theta \rho u c \vartheta r d\theta \sim \frac{\text{const}}{r},$$

т.е. Q от r изменяется по гиперболическому закону. Таким образом, в окрестности особой точки $r=0$ реализуется источник или сток избыточного тепла бесконечной мощности.

Вид функции $t(r, \theta)$ вытекает из формулы (2)

$$t(r, \theta) = t_\infty + T(\theta) \frac{\Delta t}{r^2}, \quad \Delta t = t_{01} - t_\infty.$$

Отсюда следует, что при $T(\theta_w)=0$ температура жидкости t_w на границе струи постоянна и равна t_∞ при различных значениях параметра закрутки C .

Как показали численные расчеты, условие $T(\theta_w)=0$ реализуется при отрицательных значениях числа Ec . Это означает, что в указанном случае $\Delta t = t_{01} - t_\infty < 0$, т.е. температура жидкости на оси t_0 меньше температуры жидкости t_w на границе струи.

Получены численные решения редуцированного уравнения энергии для различных значений числа Re , степени закрутки C , числа $Ec=0; \pm 2$ при числе $Pr=1$.

Вариант I. На рис. 2, а представлены полученные распределения T по $\eta=\theta/\theta_w$, отвечающие указанным на нем числам Ec . Видно, что поперечные профили $T(\eta)$ практически монотонны. На рисунке, кроме того, приведены результаты расчета для значения $Ec=-1.88$, которое соответствует величине $T(1)=0$. В данном случае $t_w=t_\infty$, т.е. температура стенки постоянна по длине.

При других значениях числа Ec для рассматриваемой тепловой задачи величина t_w переменна по длине.

На рис. 2, б представлены линии тока среды, которые берут свое начало на стенке и уходят вправо в бесконечность. Кроме того, на рис. 2, б для значения $Ec=-1.88$ приведено сопоставление линий тока среды и линий тока избыточного теплосодержания среды, пропорционального алгебраической разности $t-t$.

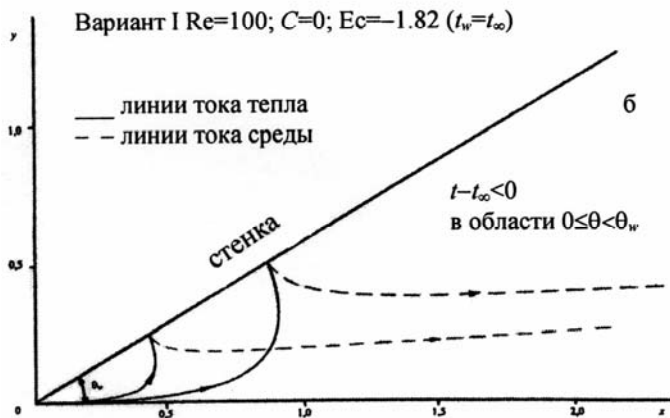
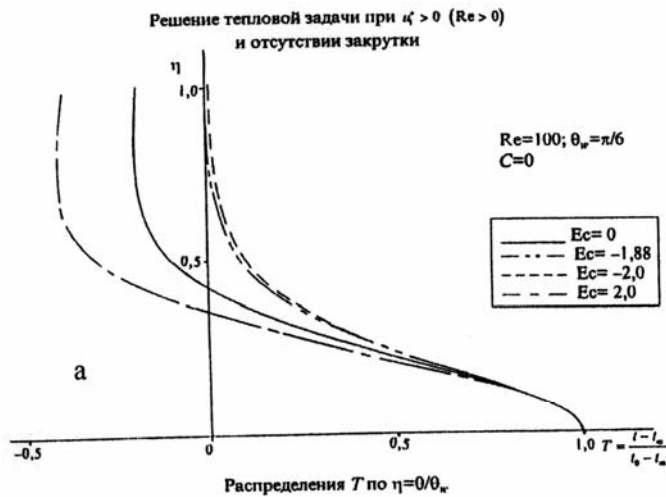


Рис. 2

Дифференциальное уравнение линий тока тепла имеет вид

$$dr / q_{\Sigma r} = rd\theta / q_{\Sigma \theta},$$

откуда получаем выражение для определения искоемых линий тока

$$r = r_* \exp \left[\int_{\theta_*}^{\theta} \frac{\left(U + \frac{2}{\text{Re Pr}} \right) T}{VT - \frac{1}{\text{Re Pr}} T'} d\theta \right],$$

где r_* , θ_* – задаваемые фиксированные значения.

Отметим возможность равенства нулю выражения

$$q_{\Sigma r} = q_{cr} + q_{\lambda r} = \frac{\left(U + \frac{2}{\text{Re Pr}} \right) T}{r^3}$$

при каком-либо значении θ в рассматриваемой области. Последнее может иметь место либо при $U+2/\text{Re Pr}=0$, либо при $T=0$. В последнем случае будет существовать конический фронт $\theta=\theta_\perp$, на котором будет отлична от нуля только нормальная составляющая $q_{\Sigma \theta} = (VT - 1/\text{Re Pr} T')/r^3$. Наоборот,

при равенстве $q_{\Sigma \theta}=0$ будет существовать конический фронт $\theta=\theta_-$, на котором будет отлична от нуля только радиальная составляющая. Заметим дополнительно, что условие $T=0$, кроме упомянутого выше, означает, что на коническом фронте $\theta=\theta_\perp$ температура $t=t_\infty$. По этой причине на этом фронте и $q_{\Sigma r}=0$.

Рассчитанные линии тока тепла, представленные на рис. 2, б, исходят из начала координат и приходят к стенке, причем ось симметрии струи является их общей огибающей. Особая точка $r=0$ идентифицируется как источник «холода» бесконечно большой мощности.

Вариант II. На рис. 3, а представлены соответствующие результаты расчетов тепловой задачи при параметре закрутки $C=10$ ($w_w/u_0 \sim 0,6$). При значении $Ec=-0,085$ величина $T(1)=0$. Анализ результатов расчета данного варианта показывает, что при значении $\theta=0,175$ ($\eta=0,334$) величина $T=0$. Это свидетельствует о существовании конического фронта $\theta=\theta_\perp$, на котором $q_{\Sigma r}=0$. Кроме того, при $\theta=0,46$ ($\eta=0,88$) $q_{\Sigma \theta}=0$, т.е. значение $\theta=0,46=\theta_-$ определяет конический фронт на котором отлична от нуля только радиальная составляющая $q_{\Sigma r}$. В поперечном сечении, однако, имеется область по $\eta \geq 0,334$, в которой температура среды $t > t_w$. Таким образом, в любом сечении канала существуют области, где температура $t < t_w$ и $t > t_w$. Последнее можно интерпретировать как проявление эффекта теплового разделения в модельной прямоточной дифференциальной вихревой трубе в случае жидкости, в которой подвод массы на стенке осуществляется по всей длине трубы.

На рис. 3, б представлены контуры поверхностей тока среды, берущие свое начало на стенке и уходящие вправо в бесконечность и контуры поверхностей тока тепла. По сравнению с вариантом I основное влияние закрутки потоков в струе проявляется в наличии двух зон с замкнутыми поверхностями тока тепла, сопрягающимися на коническом фронте

$\theta=0,46$, где $q_{\Sigma\theta}=0$. При этом нижняя зона состоит из замкнутых вложенных друг в друга поверхностях тока тепла, а верхняя – из вложенных поверхностей тока, разомкнутых на границе струи.

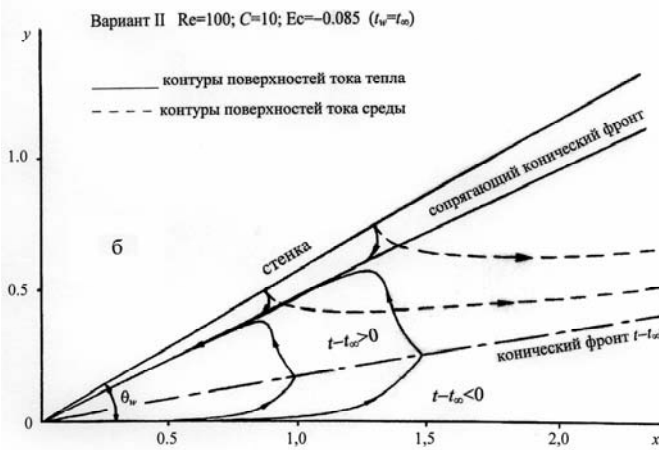
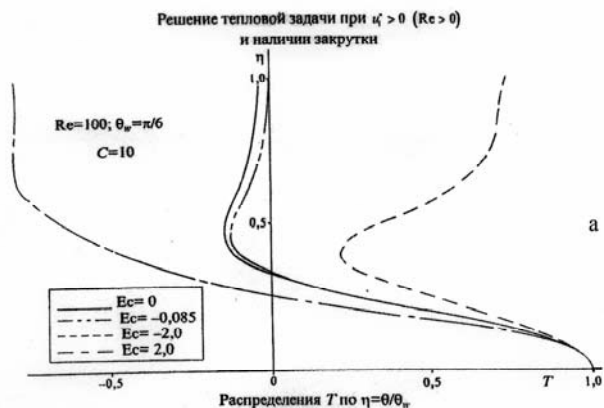


Рис. 3

Вариант III. По-иному выглядят распределение T по η в случае, отвечающем значению $C=2,5$, когда

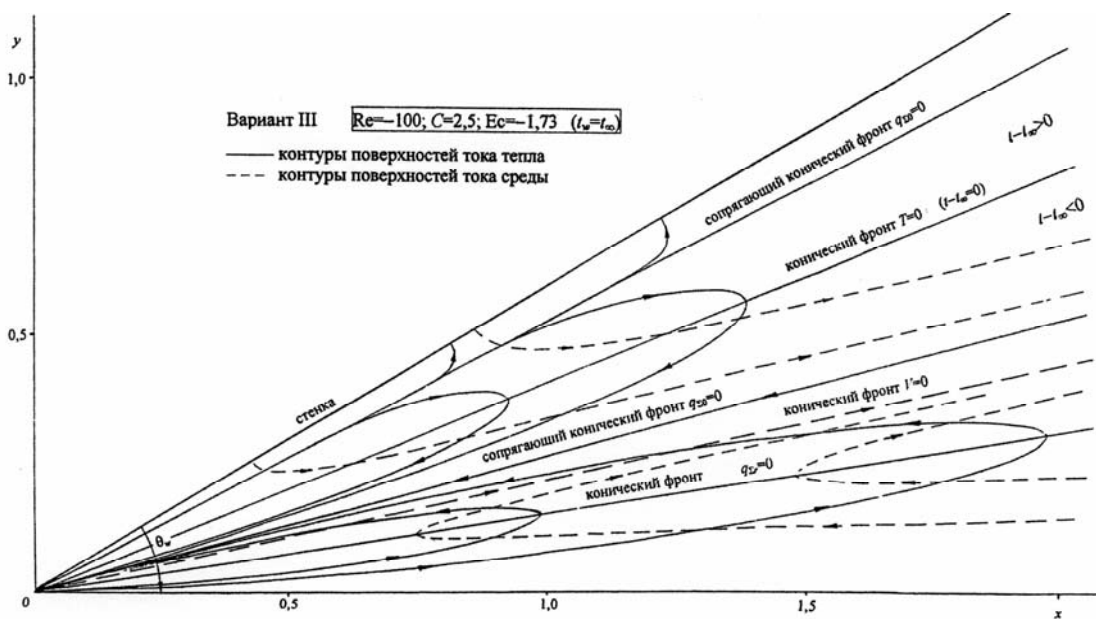


Рис. 5

в окрестности оси имеется область возвратного течения ($Re=-100$). Эти данные приведены на рис. 4 (значение $T(1)=0$ имеет место при $Ec=-1,73$).

Немонотонность в поперечных профилях $T(\theta)$ становится ярко выраженными и соответствуют заметно пониженным и повышенным температурам по отношению к T_w , причем температура жидкости, текущей вдоль оси в направлении сужения канала в соответствии с числом $Ec < 0$ убывает. Отмеченный факт интерпретируется как проявление эффекта теплового разделения в модельной противоточной дифференциальной вихревой трубе применительно к жидкости.

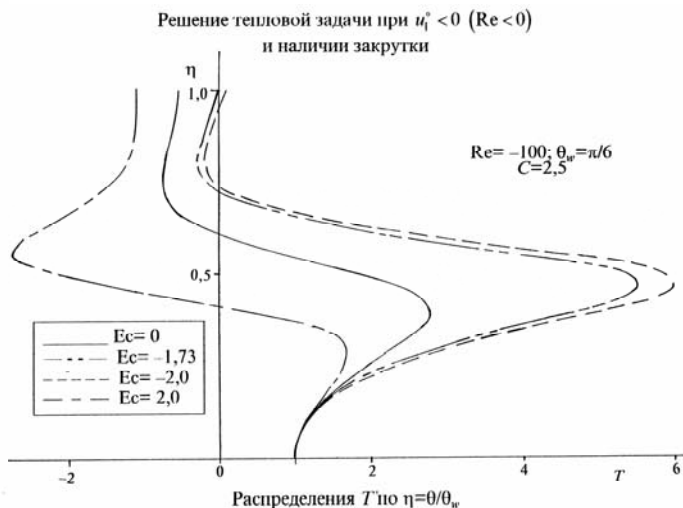


Рис. 4

На рис. 5 представлено сопоставление контуров поверхностей тока среды и тепла. Отличие по сравнению с вариантом II состоит в наличии не двух, а трех зон с замкнутыми поверхностями тока тепла, которые сопрягаются между собой на конических фронтах, где $q_{\Sigma\theta}=0$.

ЗАКЛЮЧЕНИЕ

На основе полученных результатов качественно предсказывается эффект энергоразделения жидкости, подобный эффекту энергоразделения газа в прямоточной и противоточной вихревой трубе. Природа этого эффекта обусловлена изменением топологии течения при закрутке потока, приводящим к образованию замкнутых поверхностей тока избыточного тепла.

СПИСОК ЛИТЕРАТУРЫ

1. **Быркин А.П., Ручьев А.В., Щенников В.В.** Тепловая стратификация среды в конически подобных закручен-

ных струйных течениях вязкой несжимаемой жидкости и газа (к моделированию эффекта Ранка) // Труды третьей Российской национальной конференции по теплообмену, т. 2, 2002

2. **Frohlingsdorf W., Unger H.** Numerical investigations of the compressible flow and the energy separation in the Ranque-Hilsch vortex tube // International Journal of Heat and Mass Transfer, v. 42, pp. 415-422, 1999.
3. **Тарунин Е.Л., Аликина О.Н.** Вычислительные эксперименты для вихревой трубки Ранка-Хилша // Труды международной конференции RDAMM-2001, т. 6, ч. 2. Спец. выпуск.
4. **Balmer R.T.** Pressure-Driven Ranque-Hilsch Temperature Separation in Liquids // Transactions of the ASME, Journal of Fluids Engineering, v. 110, pp. 161-164, 1988.